

УДК 537.611.45; 537.226

**ФЕНОМЕНОЛОГИЧЕСКАЯ ТЕОРИЯ
ЧАСТИЧНО-МОДУЛИРОВАННЫХ СОСТОЯНИЙ
АНТИФЕРРОМАГНЕТИКА CeAl_2**

C. M. Новиков, B. P. Сахненко

В рамках феноменологической теории фазовых переходов Ландау показано, что фазовая диаграмма для четырехкомпонентного параметра порядка, описывающего простую антиферромагнитную структуру CeAl_2 , содержит мультикритическую точку, в которой в термодинамическом равновесии с парамагнитной фазой могут находиться пять фаз, имеющих антиферромагнитную структуру, и две модулированные фазы. Возникновение последних связано с доказанной в работе спонтанной неустойчивостью некоторых антиферромагнитных фаз относительно длиннопериодических искажений структуры, в результате чего вблизи линии фазовых переходов второго рода парамагнетик—антиферромагнетик возникают фазы, в которых существуют «однородные» и модулированные компоненты параметра порядка (частично-модулированные фазы). Выведены симметричные и термодинамические условия возникновения частично-модулированных состояний CeAl_2 и изоструктурных ему соединений. Установленная экспериментально фазовая p , T -диаграмма CeAl_2 интерпретируется как часть построенной теоретически фазовой диаграммы. Описаны магнитная структура фаз и особенности физических свойств CeAl_2 в окрестности мультикритической точки.

1. Интерметаллиду CeAl_2 , относящемуся к группе соединений со структурой типа Лавеса [1], посвящены многочисленные экспериментальные исследования. Наибольшее внимание привлекло происходящее в CeAl_2 при низких температурах магнитное упорядочение, сопровождающееся появлением длиннопериодической синусоидальной волны [2, 3]. В магнитной фазе наряду с сателлитами, обусловленными длинноволновой модуляцией магнитной структуры, был обнаружен сателлит с волновым вектором $k = \pi/2$ (111), лежащий на границе зоны Брилюэна исходной кубической решетки [3, 4]. Особенности температурной зависимости интенсивности этих двух групп сателлитов, приведенные в [4], позволили авторам [1, 4] истолковать наблюдаемую фазу как так называемую $3-k$ -структуру (см. [1, 5]). Появление сателлита с $k = \pi/2$ (111) было объяснено при этом особенностями взаимодействия основного 24-компонентного параметра порядка (ПП), описывающего длинноволновое упорядочение, с сопутствующим ПП, относящимся к четырехлучевой звезде вектора $k = \pi/2$ (111). Однако в работах [2, 5] было установлено, что температуры, при которых возникают обсуждаемые группы сателлитов, различаются. Более того, при исследовании CeAl_2 под давлением обнаружено, что с ростом гидростатического давления наблюдается уменьшение интенсивностей сателлитов, задающих $3-k$ -структуру, вплоть до их полного исчезновения, тогда как интенсивность «сопутствующего» сателлита растет [2, 5]. При этом для каждого заданного давления при понижении температуры сначала происходит фазовый переход в антиферромагнитное состояние и лишь затем при более низкой температуре возникает модулированная структура. Все эти факты не могут быть объяснены в рамках интерпретации, предложенной в [1, 4].

Микроскопическая интерпретация фазовых переходов в CeAl_2 описывается на высказанное в ряде работ предположение, что в возникновении

магнитного порядка важную роль играет конкуренция между ростом обменных констант при уменьшении параметра решетки с понижением температуры и уменьшением эффективного магнитного момента, обусловленным обнаруженным в CeAl_2 эффектом Кондо [5, 6]. Модуляция магнитной структуры объясняется при этом на основе предположения о разных знаках констант обменного взаимодействия для ближайших и следующих соседей [5]. Однако все эти соображения носят чисто качественный характер, количественная микроскопическая теория фазовых переходов в CeAl_2 в настоящее время отсутствует. В силу этого важное значение приобретает построение феноменологической теории, опирающейся на хорошо установленные факты. Такая теория, оперирующая термодинамическим потенциалом Гинзбурга—Ландау, построенным на основе симметрийного анализа структуры магнитной фазы CeAl_2 , была предложена в [7, 8]. Она, так же как и [1, 4], опирается на предположение о реализации в CeAl_2 З— k -структуры, и одним из важных результатов работ [7, 8] явился вывод условий возникновения такой структуры. Сам факт модуляции объяснялся при этом отрицательным знаком коэффициента термодинамического потенциала при квадрате градиента параметра порядка, что находится в соответствии с упомянутым предположением об особенностях обменных взаимодействий в CeAl_2 [5]. Основанием для такого подхода послужило и то, что для ближайшего к наблюдаемым сверхструктурным вектором k выделенного по симметрии вектора обратной решетки, лежащего на границе зоны Бриллюэна $k = \pi/2 (111)$, все параметры порядка удовлетворяют условию Лифшица [1], и, следовательно, симметрия запрещает инварианты, билinearные по параметру порядка и его пространственным производным, с необходимостью обуславливающие появление пространственно-неоднородного распределения параметра порядка. Однако, как показано ниже (см. также [9, 10]), потенциал Гинзбурга—Ландау для CeAl_2 допускает линейные по пространственным производным инварианты, не учтенные в [7, 8]. Это позволяет представить совершенно иную картину возникновения модуляции при антиферромагнитном упорядочении, отличительной особенностью которой является предварительное возникновение простой антиферромагнитной структуры с ориентацией магнитных моментов вдоль пространственной диагонали кубической элементарной ячейки [9]. Появление такой фазы зафиксировано в последних работах, более того, показано, что область ее существования заметно расширяется с ростом давления [3, 5]. В настоящей работе предложена феноменологическая теория фазовых переходов в CeAl_2 , опирающаяся на эти новые факты. Исследование проведено на основе потенциала Гинзбурга—Ландау, более полно учитывающего симметрию задачи, и не связано с большим числом жестких ограничений на коэффициенты потенциала, полученных в [7, 8] при выводе условий непосредственного возникновения из кубической фазы З— k -структуры.

2. Симметрия кристаллов CeAl_2 описывается пространственной группой $O_h^7 (Fd\bar{3}m)$. Магнитные атомы Ce занимают позиции типа 8 (a) гранецентрированной кубической решетки. Базисные векторы примитивной ячейки в проекциях на единичные векторы e_x, e_y, e_z ортогональной системы координат x, y, z имеют вид $a_1 = (011), a_2 = (101), a_3 = (110)$. Возникающие при фазовом переходе магнитные сверхструктурные рефлексы группируются вокруг узлов типа $1/2 (b_1 + b_2 + b_3)$, где $b_1 = \pi (-111), b_2 = \pi (1-11), b_3 = \pi (11-1)$ — векторы обратной объемноцентрированной решетки [3]. Рассмотрим фазовые переходы, описываемые параметрами порядка, относящимися к звезде $k_9 = 1/2 (b_1 + b_2 + b_3)$ (нумерация k по [11]). Это четырехлучевая звезда, имеющая шесть неприводимых представлений (НП): четыре четырехмерных $T_1—T_4$ и два восьмимерных T_5, T_6 [1, 12]. Анализ магнитной структуры CeAl_2 [2, 3] показывает, что она описывается представлением T_2 (см. также [1]). Преобразование компоненты c_i ($i = 1, \dots, 4$) параметра порядка под действием операций симметрии, являющихся генератором группы симметрии парамагнитной фазы, задано в таблице.

Преобразование компонент c_i ($i=1, \dots, 4$) параметра порядка под действием генераторов группы O_h^+

$(C_4^x \alpha)$	$(C_3^{xyz} 0)$	$(C_2^x y \alpha)$	$(J \alpha)$	a_1	a_2	a_3	$t \rightarrow -t$
(\bar{y}, x, z)	(y, z, x)	$(\bar{y}, \bar{x}, \bar{z})$	$(\bar{x}, \bar{y}, \bar{z})$	(x, y, z)	(x, y, z)	(x, y, z)	(x, y, z)
c_3	c_1	c_1	$-c_1$	$-c_1$	$-c_1$	$-c_2$	$-c_1$
$-c_1$	c_3	$-c_3$	c_2	$-c_1$	c_2	c_2	$-c_2$
$-c_4$	c_4	$-c_2$	c_3	c_3	$-c_3$	c_3	$-c_3$
$-c_2$	c_2	$-c_4$	c_4	c_4	c_4	$-c_4$	$-c_4$

П р и м е ч а н и е. α — несобственная трансляция $\alpha = 1/4(a_1 + a_2 + a_3)$. Во второй строке указано действие элемента симметрии O_h^+ на компоненты x, y, z вектора. В последнем столбце указано преобразование c_i под действием операции инверсии времени.

Представление T_2 удовлетворяет условию Лифшица, в чем легко убедиться, воспользовавшись таблицей. Однако симметрия допускает существование линейного по пространственным производным ПП инварианта, имеющего более высокую степень по c_j

$$J = c_1 c_2 \frac{\partial (c_3 c_4)}{\partial x} - c_3 c_4 \frac{\partial (c_1 c_2)}{\partial x} + c_1 c_3 \frac{\partial (c_2 c_4)}{\partial y} - c_2 c_4 \frac{\partial (c_1 c_3)}{\partial y} + \\ + c_1 c_4 \frac{\partial (c_2 c_3)}{\partial z} - c_2 c_3 \frac{\partial (c_1 c_4)}{\partial z}. \quad (1)$$

Термодинамический потенциал $\Phi(c_i)$, позволяющий полностью проанализировать структуру фазовой диаграммы вблизи линий переходов второго рода из симметричной фазы, имеет вид

$$\Phi = \alpha_2 \Sigma c_i^2 + \alpha_2 (\Sigma c_i^2)^2 + \beta_1 \Sigma c_i^4 + \gamma \Sigma c_i^6 + \sigma \Sigma c_i^8 + \beta_2 (\Sigma c_i^4)^2 + \\ + \gamma J + \delta \Sigma \left[\left(\frac{\partial c_i}{\partial x} \right)^2 + \left(\frac{\partial c_i}{\partial y} \right)^2 + \left(\frac{\partial c_i}{\partial z} \right)^2 \right], \quad (2)$$

где $\alpha_2 > 0$, $\beta_2 > 0$, и последний член выбран в упрощенной форме, достаточной для последующего анализа.

Множимизируя (2), легко показать, что с симметричной фазой по линии фазовых переходов второго рода в плоскости двух термодинамических параметров (например, $p-T$ -плоскости) могут граничить две фазы, определяемые решениями типа 1 ($c000$) и 2 ($cccc$). Возникновение этих фаз регулируется знаком коэффициента β_1 : при $\beta_1 < 0$ появляется фаза 1, а при $\beta_1 > 0$ фаза 2. В точке $\alpha_1=0$, $\beta_1=0$ с параметром J фаза 1, 2, соприкасаются также фазы типа 3 ($cc00$), 4 ($ccc0$) и 5 ($c_1 c_2 00$). Условия их существования и расположения на фазовой α_1, β_1 плоскости (или $p-T$ -диаграмме) исследованы в [9, 10]. Решение 1 описывает простую антиферромагнитную структуру, обнаруженную в CeAl_2 , с симметрией, относящейся к ромбоэдрическому классу D_{3d} . Остановимся более детально на условиях термодинамической устойчивости этой фазы. Найдя c_1 из условий минимума для (2) и подставив полученный конденсат в (2), приходим к термодинамическому потенциалу Φ' , описывающему фазовые переходы с трехкомпонентным параметром порядка $c_2 c_3 c_4$ из ромбоэдрической фазы. Осуществив далее переход от x, y, z к новым координатам x', y', z' , выделяющим ось третьего порядка в фазе D_{3d} , с помощью преобразования

$$x = \frac{1}{\sqrt{6}} (-\sqrt{3} x' - y' + \sqrt{2} z'), \quad y = \frac{1}{\sqrt{6}} (\sqrt{3} x' - y' + \sqrt{2} z'), \quad z = \frac{1}{\sqrt{3}} (\sqrt{2} y' + z') \quad (3)$$

и отбросив полные производные, получаем для J' в Φ' выражение

$$J' = \sqrt{\frac{2}{3}} c'_1 \left\{ \sqrt{3} c_4 \left(c_3 \frac{\partial c_2}{\partial x'} - c_2 \frac{\partial c_3}{\partial x'} \right) + c_4 \left(c_3 \frac{\partial c_2}{\partial y'} + c_2 \frac{\partial c_3}{\partial y'} \right) - 2 c_2 c_3 \frac{\partial c_4}{\partial y'} \right\}, \quad (4)$$

где

$$c_1' = (-\alpha_1/2\alpha_2) + (\beta_1\beta_1/2\alpha_2^2) + (\beta_2\alpha_1^3/4\alpha_2^4).$$

Для исследования интересующей нас части фазовой диаграммы оказывается достаточным потенциал (2) с $\gamma=\sigma=0$, как и принято в (4) и ниже. (Заметим, что при решении задачи об устойчивости других возможных в CeAl₂ фаз, например типа 3 (cc00), 4 (ccc0) и т. д., учет этих коэффициентов необходим). После подстановки конденсата ($c_1'000$) в потенциал (2) и выполнения преобразования (3) получаем

$$\begin{aligned} \Phi' = \Phi_0 + \alpha_1' \sum_{i=2}^4 c_i^2 + \alpha_2 \left(\sum_{i=2}^4 c_i^2 \right)^2 + \beta_1' \sum_{i=2}^4 c_i^4 + \beta_2 \left(\sum_{i=2}^4 c_i^4 \right)^2 + f' J' + \\ + \delta \sum_{i=2}^4 \left[\left(\frac{\partial c_i}{\partial x'} \right)^2 + \left(\frac{\partial c_i}{\partial y'} \right)^2 + \left(\frac{\partial c_i}{\partial z'} \right)^2 \right], \end{aligned} \quad (5)$$

где

$$\alpha_1' = \alpha_1 \beta_1'/\alpha_2, \quad \beta_1' = \beta_1 + \beta_2 \alpha_1^2/2\alpha_2^2, \quad f' = \sqrt{2/3} f c_1'.$$

Исследуем теперь фазовые переходы с трехкомпонентным ПП $\{c_2 c_3 c_4\}$. На линии $\alpha_1'=0$ ($\beta_1'=0$) возникают «однородные решения» типа (00c) при $\beta_1' < 0$ и (ccc) при $\beta_1' > 0$. Однако фаза (00c) оказывается неустойчивой относительно длиннопериодических искажений. Действительно, подстановка конденсата (00c₄) в J' показывает, что для остающегося двухкомпонентного ПП $\{c_2 c_3\}$ существует обычный лифшицевский инвариант. Вследствие этого на линии $\alpha_1=0$ при $\alpha_1 > -3f'^2/8\delta$ происходит фазовый переход не в однородную фазу, а в модулированную типа ($c_2(x')$, $c_3(x')$, c_4) аналогично [13, 14]. Возвращаясь к исходному 4-компонентному ПП, можно заключить, что инвариант (1) в некоторой области значением коэффициентов потенциала (2) приводит к неустойчивости антиферромагнитной фазы (c000) относительно возникновения сложного конденсата, содержащего однородные c_1 , c_4 и пространственно-модулированные c_2 , c_3 компоненты ПП. В гармоническом приближении для модулированных компонент ПП для частично-модулированной фазы имеем

$$\begin{aligned} c_1^2 = -\frac{\alpha_1}{2\alpha_2} + \frac{\alpha_1}{2\alpha_2^2} \beta_1', \quad c_2 = A \sin \Delta k (x - y), \\ c_3 = A \cos \Delta k (x - y), \quad c_4^2 = -\frac{\alpha_1}{2\alpha_2^2} \beta_1', \end{aligned} \quad (6)$$

где

$$A = f \alpha_1 \beta_1'^{1/2} / 4\alpha_2^2 \delta^{1/2}, \quad \Delta k = f \alpha_1 \beta_1'^{1/2} / 4\delta \alpha_2^2.$$

Фаза $(c_1 c_2(x-y) c_3(x-y) c_4)$ возникает в результате перехода второго рода на линии $\beta_1 = \beta_1 + \beta_2 \alpha_1^2/2\alpha_2^2 = 0$; α_1 , β_1 — диаграммы из фазы с простой антиферромагнитной структурой, описываемой решением типа (c000). Полученная нами часть фазовой диаграммы и экспериментальная $p-T$ -диаграмма CeAl₂ [5] приведены на рисунке. Модуляция (6) в направлении [110] согласуется с нейтронографическими данными [2, 3]. Таким образом, опираясь лишь на соображения симметрийного и термодинамического характера, мы получили для CeAl₂ схему фазовых переходов, полностью отвечающую экспериментальным данным.

3. Плотность распределения магнитного момента в каждой из фаз легко установить, используя стандартные методы (см. [1]). Примитивная ячейка CeAl₂ содержит два магнитных атома Ce³⁺ в позициях 1, (000) и 2, (1/4 1/4 1/4). Базисные функции НП T_2 магнитных атомов 1 и 2 таковы: $k_1 = (\pi/2) (111) - 1. (111), 2. (1\bar{1}\bar{1})$; $k_2 = (\pi/2) (\bar{1}11) - 1. (\bar{1}\bar{1}\bar{1}), 2. (\bar{1}1\bar{1})$; $k_3 = (\pi/2) (1\bar{1}1) - 1. (\bar{1}1\bar{1}), 2. (\bar{1}\bar{1}1)$; $k_4 = (\pi/2) (11\bar{1}) - 1. (\bar{1}\bar{1}1), 2. (\bar{1}1\bar{1})$. Для наблюдаемых в CeAl₂ однородной антиферромагнитной и частично-модули-

рованной фаз получаем следующее распределение магнитного момента по атомам типа 1 и 2:

(c_{000}) ,

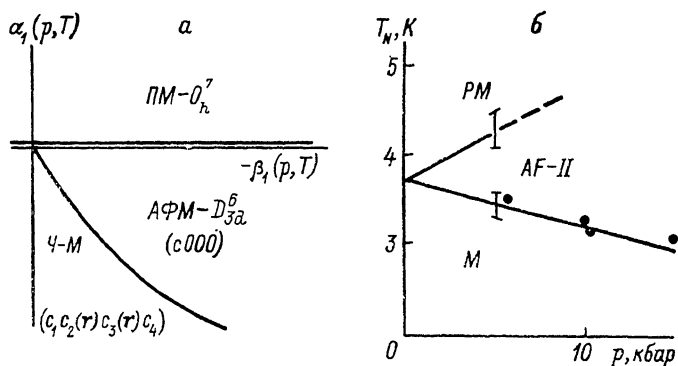
$$M_1 = (111) ce^{\frac{i\pi}{2}(x+y+z)}, \quad M_2 = (\bar{1}\bar{1}\bar{1}) ce^{\frac{i\pi}{2}(x+y+z)},$$

$(c_1 c_2 (x-y) c_3 (x-y) c_4)$

$$M_1 = (111) c_1 e^{\frac{i\pi}{2}(x+y+z)} + (\bar{1}\bar{1}\bar{1}) A \sin \Delta k (x-y) e^{\frac{i\pi}{2}(-x+y+z)} + \\ + (\bar{1}\bar{1}\bar{1}) A \cos \Delta k (x-y) e^{\frac{i\pi}{2}(x-y+z)} + (\bar{1}\bar{1}\bar{1}) c_4 e^{\frac{i\pi}{2}(x+y-z)},$$

$$M_2 = (\bar{1}\bar{1}\bar{1}) c_1 e^{\frac{i\pi}{2}(x+y+z)} + (\bar{1}\bar{1}\bar{1}) A \sin \Delta k (x-y) e^{\frac{i\pi}{2}(-x+y+z)} + \\ + (\bar{1}\bar{1}\bar{1}) A \cos \Delta k (x-y) e^{\frac{i\pi}{2}(x-y+z)} + (\bar{1}\bar{1}\bar{1}) c_4 e^{\frac{i\pi}{2}(x+y-z)}, \quad (7)$$

где $c_1, c_4, A, \Delta k$ из (6), а x, y, z — координаты ячейки кристалла введенной выше ортогональной системы координат.



Диаграммы фазовых состояний CeAl_2 в окрестности мультикритической точки.
а — теоретическая, б — по данным [3, 5].

Нейтронографические исследования [3, 5] свидетельствуют о том, что при $p \approx 0$ ниже температуры магнитного упорядочения $T \approx 3.8$ К вплоть до самой низкой температуры $T \approx 1.6$ К, при которой исследовался кристалл CeAl_2 , сохраняются «соизмеримые» рефлексы, отвечающие антиферромагнитной структуре. Для объяснения этого авторы [5] выдвигают предположение, что в исследованных ими монокристаллических пластинах CeAl_2 существуют дефектные области, в которых модуляция подавляется, оставляя после себя простую антиферромагнитную структуру, иными словами, наблюдаемое состояние является смесью фаз — однородной и модулированной. Однако выполненное выше исследование показывает, что это состояние может быть однофазным (возможно, многодоменным) и представляет собой частично-модулированную структуру с плотностью магнитного момента, описываемой выражениями (7).

В CeAl_2 обнаружены также особенности в неупругом магнитном рассеянии нейтронов, объясненные в [15] сильным взаимодействием между состояниями возбуждения кристаллического электрического поля, расщепляющими уровни с $j=5/2$ иона Ce^{3+} , и низкоэнергетическими фононами, основной вклад в которые вносят ветви, связанные с колебаниями алмазоподобной подрешетки Ce^{3+} . Следствием указанного предположения должно быть наличие сильной магнитоупругой связи между ПП и сдвиговыми деформациями u_{ij} ($i \neq j$). Действительно, анализ механического представления для $k=0$, построенного для атомов в позициях 8 (а),

которые занимают ионы Ce^{3+} , показывает, что оно содержит два трехмерных представления: T_1 и T_{10} (нумерация по [11]). В то же время по T_1 , преобразуются и компоненты u_{ij} ($i \neq j$), т. е. термодинамический потенциал Φ содержит члены, билинейные по u_{ij} и компонентам некритического ПП, описывающего смещение ионов Ce^{3+} . Исключив эти компоненты из Φ , можно описать магнитоупругое взаимодействие как непосредственное взаимодействие между компонентами c_i магнитного ПП и упругими деформациями. Соответствующий член в Φ имеет вид

$$B [(c_1^2 + c_2^2 - c_3^2 - c_4^2) u_{yz} + (c_1^2 - c_2^2 + c_3^2 - c_4^2) u_{xz} + (c_1^2 - c_2^2 - c_3^2 + c_4^2) u_{xy}]. \quad (8)$$

Добавив к (2) члены, описывающие упругую часть энергии кристалла $2c_{44}(u_{xy}^2 + u_{yz}^2 + u_{xz}^2)$, и (8), получаем:

в антиферромагнитной фазе ($c000$)

$$u_{xy} = u_{yz} = u_{xz} = \frac{B\alpha_1}{8c_{44}\alpha_2} \left(1 - \frac{\beta'_1}{\alpha_2} \right),$$

в частично-модулированной ($c_1c_2(x-y)c_3(x-y)c_4$)

$$u_{xy} = \frac{B\alpha_1}{8c_{44}\alpha_2} \left(1 + \frac{f^2\alpha_1\beta'_1}{8\alpha_2^3\delta} \right),$$

$$u_{yz} = \frac{B\alpha_1}{8c_{44}\alpha_2} \left(1 + \frac{f^2\alpha_1\beta'_1}{8\alpha_2^3\delta} \cos 2\Delta k(x-y) - \frac{2\beta'_1}{\alpha_2} \right),$$

$$u_{xz} = \frac{B\alpha_1}{8c_{44}\alpha_2} \left(1 - \frac{f^2\alpha_1\beta'_1}{8\alpha_2^3\delta} \cos 2\Delta k(x-y) - \frac{2\beta'_1}{\alpha_2} \right). \quad (9)$$

Эти деформации должны быть наиболее выраженным в наблюдаемых в CeAl_2 фазах как в силу отмеченной выше связи между c_i и смещениями подрешетки Ce^{3+} , вызывающими деформации u_{ij} ($i \neq j$), так и в силу низкой степени магнитоупругого взаимодействия (8) ($u_{ij} \sim c^2$). Пропорциональным c^2 оказывается и относительное изменение объема $\Delta V/V = Spu_{ij} \sim (c_{11} + 2c_{12})^{-1} \Sigma_i^2$. В частично-модулированной фазе

$$\frac{\Delta V}{V} \sim (c_{11} + 2c_{12})^{-1} \left(-\frac{\alpha_1}{2\alpha_2} \right) \left(1 - \frac{f^2\alpha_1\beta'_1}{8\alpha_2^3\delta} \right). \quad (10)$$

В то же время двухкомпонентная величина η_i : $\eta_1 = 1/\sqrt{6}(2u_{zz} - u_{xx} - u_{yy})$, $\eta_2 = 1/\sqrt{2}(u_{yy} - u_{xx})$ оказывается пропорциональной лишь c^4 . Из этого, в частности, следует, что вблизи температуры возникновения магнитного порядка не должно быть аномалий в податливости $s_{11} - s_{12}$. Наличие же связи (8) может приводить к росту упругой податливости s_{44} , обусловленному флуктуациями соответствующих квадратичных форм ПП (см., например, [16]). Сильная аномалия в s_{44} действительно наблюдалась в кубической фазе при приближении к температуре перехода [17]. Отметим также, что, как это видно из (9), (10), существует неисчезающий при усреднении по объему кристалла вклад в u_{xy} и $\Delta V/V$ от модулированной части ПП. Поэтому интерпретация экспериментальных данных по тепловому расширению CeAl_2 , основанная на предположении об отсутствии такого вклада [5], не является верной.

Список литературы

- [1] Изюмов Ю. А., Найш В. Е., Озеров Р. П. Нейтронография магнетиков. М., 1981. 309 с.
- [2] Barbara B., Rossignol M. F., Boucherle Y. X., Schweizer J., Buevoz J. // J. Appl. Phys. 1979. V. 50. N 3. P. 2300—2307.
- [3] Barbara B., Rossignol M. F., Boucherle Y. X., Vettier C. // Phys. Rev. Lett. 1980. V. 45. N 11. P. 938—941.
- [4] Shapiro S. M., Gurevitz E., Parks R. D., Kupferberg L. C. // Phys. Rev. Lett. 1979. V. 43. N 23. P. 1748—1751.
- [5] Schefzyk R., Lieke W., Steglich F. // Sol. St. Comm. 1985. V. 54. N 6. P. 525—529.

- [6] Doniach S. // Physica. 1977. V. 91B. P. 231—234.
- [7] Изюмов Ю. А., Лаптев В. М., Сыромятников В. Н. // ФММ. 1985. Т. 60. № 4. С. 651—660.
- [8] Изюмов Ю. А. Рассеяние нейтронов на длинноperiодических структурах. М., 1987.
- [9] Крайзман И. Й., Сахненко В. П. // Письма в ЖЭТФ. 1984. Т. 40. № 5. С. 173—175.
- [10] Крайзман И. Й., Сахненко В. П. // Кристаллография. 1986. Т. 31. № 1. С. 167—169.
- [11] Ковалев О. В. Неприводимые и индуцированные представления федоровских групп. М., 1986. 368 с.
- [12] Сахненко В. П., Таланов В. М., Чечин Г. М. // Деп. ВИНИТИ. 1981. № 638-82. 26 с.
- [13] Крайзман И. Й., Сахненко В. П. // Тез. XI Всес. конф. по физике сегнетоэлектриков. 1986. Т. 2. С. 133.
- [14] Саников Д. Г., Головко В. А. // ЖЭТФ. 1987. Т. 92. № 2. С. 580—588.
- [15] Thameier P., Fulde P. // Phys. Rev. Lett. 1982. V. 49. N 21. P. 1588—1591.
- [16] Сахненко В. П., Тимонин П. Н. // ЖЭТФ. 1979. Т. 76. № 1. С. 194—198.
- [17] Lüthi B., Lingner C. // Z. Phys. B. 1979. V. 34. N 2. P. 157—163.

Ростовский-на-Дону государственный
университет НИИФ
Ростов-на-Дону

Поступило в Редакцию
2 августа 1988 г.
В окончательной редакции
11 ноября 1988 г.